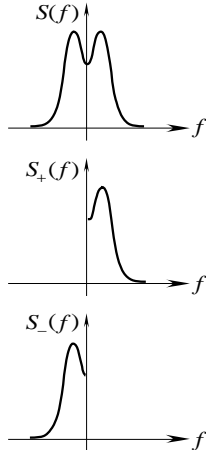


# SEGNALI E SISTEMI PASSA-BANDA

## 1 – Componenti a frequenze positive e negative.

Si consideri un segnale  $s(t)$  reale la cui trasformata di Fourier è rappresentata in Fig. 1.



**Fig. 1.** – Componenti a frequenza positiva e negativa di un segnale.

Nell'analisi dei segnali è talvolta utile introdurre le grandezze

$$(1.1) \quad \begin{aligned} S_+(f) &= u(f)S(f) \\ S_-(f) &= u(-f)S(f) \end{aligned}$$

che individuano il contenuto di frequenze positive e negative dello spettro di  $s(t)$ . È ovvio che né  $S_+(f)$  né  $S_-(f)$  soddisfano le condizioni di simmetria hermitiana; perciò le corrispondenti antitrasformate:

$$(1.2) \quad \begin{aligned} s_+(t) &= \mathbf{F}^{-1}\{S_+(f)\} \\ s_-(t) &= \mathbf{F}^{-1}\{S_-(f)\} \end{aligned}$$

denominate **componenti a frequenze positive e negative**, costituiscono una coppia di segnali complessi.

Dalla (1.1) si possono dedurre i segnali  $s_+(t)$  e  $s_-(t)$

applicando il teorema della convoluzione nel dominio del tempo. A tal proposito basta osservare che applicando alle coppia di trasformate  $u(t) \Leftrightarrow \frac{1}{2}\delta(f) + \frac{1}{2}\text{Pf}\left(\frac{1}{j\pi f}\right)$  e  $u(-t) \Leftrightarrow \frac{1}{2}\delta(f) - \frac{1}{2}\text{Pf}\left(\frac{1}{j\pi f}\right)$  la proprietà di simmetria si ottiene  $\mathbf{F}^{-1}\{u(f)\} = \frac{1}{2}\delta(t) + j\frac{1}{2}\text{Pf}\left(\frac{1}{\pi t}\right)$ , e  $\mathbf{F}^{-1}\{u(-f)\} = \frac{1}{2}\delta(t) - j\frac{1}{2}\text{Pf}\left(\frac{1}{\pi t}\right)$  per cui è:

$$(1.3) \quad \begin{aligned} s_+(t) &= \frac{1}{2}[s(t) + j\hat{s}(t)] \\ s_-(t) &= \frac{1}{2}[s(t) - j\hat{s}(t)] \end{aligned}$$

dove si è posto:

$$(1.4) \quad \hat{s}(t) \equiv \mathbf{H}\{s(t)\} = \frac{1}{\pi} \text{VP} \int_{-\infty}^{\infty} \frac{s(\tau)}{t - \tau} d\tau$$

che costituisce la **trasformata di Hilbert** di  $s(t)$ .

Dalle (1.3) si ottiene:

$$(1.5) \quad \begin{aligned} s(t) &= s_+(t) + s_-(t) \\ \hat{s}(t) &= -j[s_+(t) - s_-(t)] \end{aligned}$$

## 2 – Segnali determinati di tipo passa-banda.

Un segnale  $s(t)$  è detto di tipo passa-banda quando l'ampiezza della sua trasformata di Fourier è trascurabile all'esterno delle regioni definite dalle  $|f| \in [f_1, f_2]$  con  $0 < f_1 < f_2$ . (v. Fig.

2). La quantità

$$(2.1) \quad B = f_2 - f_1$$

costituisce l'ampiezza di banda (unilatera) di  $s(t)$ .

Se  $s(t)$  è un segnale reale si può scrivere:

$$\begin{aligned}
 s(t) &= \int_{-\infty}^0 S(f)e^{j2\pi ft} df + \int_0^{\infty} S(f)e^{j2\pi ft} df = \int_0^{\infty} S(-f)e^{-j2\pi ft} df + \int_0^{\infty} S(f)e^{j2\pi ft} df = \\
 (2.2) \quad &= \int_0^{\infty} [S^*(f)e^{-j2\pi ft} + S(f)e^{j2\pi ft}] df = 2 \operatorname{Re} \left[ \int_0^{\infty} S(f)e^{j2\pi ft} df \right] = \\
 &= 2 \operatorname{Re} \left[ \int_0^{\infty} S_+(f)e^{j2\pi ft} df \right]
 \end{aligned}$$

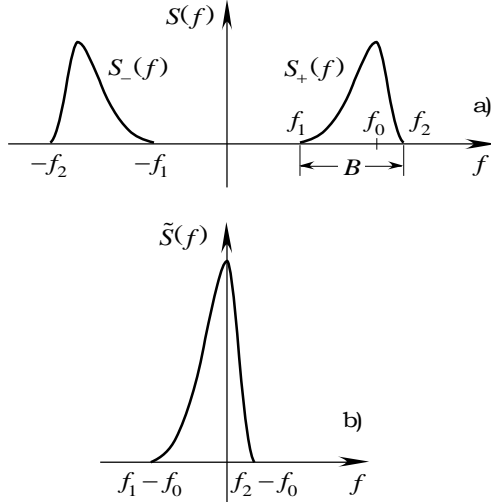


Fig. 2 - Segnale di tipo passa-banda.

dal momento che per  $0 \leq f < \infty$ ,  $S(f)$  coincide con  $S_+(f)$  (v. Fig. 2,a).

Sia  $f_0$  una frequenza appartenente all'intervallo  $[f_1, f_2]$ . Introducendo nella precedente la trasformazione  $f \rightarrow f + f_0$  si ottiene:

$$(2.3) \quad s(t) = \operatorname{Re} \left[ e^{j2\pi f_0 t} \int_{-f_0}^{\infty} 2S_+(f + f_0)e^{j2\pi ft} df \right]$$

che se il segnale  $s(t)$  è di tipo passa-banda diventa:

$$(2.4) \quad s(t) = \operatorname{Re} \left[ e^{j2\pi f_0 t} \int_{f_1-f_0}^{f_2-f_0} 2S_+(f + f_0)e^{j2\pi ft} df \right]$$

Se inoltre la frequenza di riferimento è scelta pari alla media aritmetica delle frequenze  $f_1$  e  $f_2$ :

$f_0 = \frac{1}{2}(f_1 + f_2)$  la (2.4) assume la forma:

$$(2.5) \quad s(t) = \operatorname{Re} \left[ e^{j2\pi f_0 t} \int_{-\frac{B}{2}}^{\frac{B}{2}} 2S_+(f + f_0)e^{j2\pi ft} df \right]$$

Ponendo:

$$(2.6) \quad \tilde{s}(t) = \int_{-\frac{B}{2}}^{\frac{B}{2}} 2S_+(f + f_0)e^{j2\pi ft} df = \int_{-\frac{B}{2}}^{\frac{B}{2}} \tilde{S}(f)e^{j2\pi ft} df$$

con (v. Fig. 2,b)

$$(2.7) \quad \tilde{S}(f) = 2S_+(f + f_0)$$

la (2.5) diventa:

$$(2.8) \quad s(t) = \operatorname{Re} \left[ \tilde{s}(t)e^{j2\pi f_0 t} \right]$$

Si deduce dalla (2.7) che  $\tilde{s}(t)$  può essere espresso in funzione della componente a frequenze positive  $s_+(t)$  dalla:

$$(2.9) \quad \tilde{s}(t) = 2e^{-j2\pi f_0 t} s_+(t)$$

È opportuno osservare che poiché  $\tilde{S}(f)$  non sempre soddisfa la condizione di simmetria hermitiana, il segnale  $\tilde{s}(t)$  è complesso a meno che non risulti  $S_+(f_0 + f) = S_+^*(f_0 - f)$  e cioè che la componente a frequenze positive del segnale  $s(t)$  presenti simmetria hermitiana rispetto alla frequenza di riferimento  $f_0$ . Ponendo allora:

$$(2.10) \quad \tilde{s}(t) = s_f(t) + js_q(t)$$

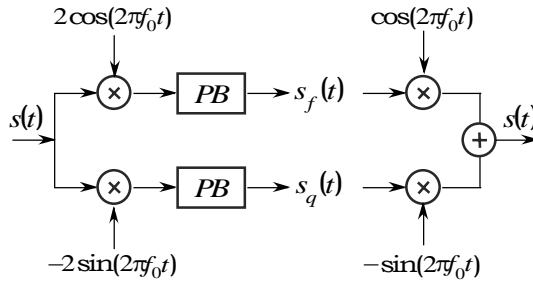
la (2.8) diventa:

$$(2.11) \quad s(t) = s_f(t) \cos 2\pi f_0 t - s_q(t) \sin 2\pi f_0 t$$

I segnali  $s_f(t)$  e  $s_q(t)$  prendono il nome di **componenti in fase** ed **in quadratura** e  $\tilde{s}(t)$  costituisce il cosiddetto **inviluppo complesso** del segnale  $s(t)$ .

La Fig.3 schematizza il modo con cui da una segnale si può ottenere l'inviluppo comples-

so e viceversa purché l'ampiezza di banda del filtro passa-basso sia pari a quella del segnale



**Fig.3** - Generazione dell'involuppo complesso e ricostruzione del segnale.

$s(t)$ .

Si precisi che le componenti in fase e in quadratura come pure l'involuppo complesso di  $s(t)$  sono dei segnali di tipo passa-basso dal momento che le loro trasformate di Fourier sono confinate nell'intervallo  $\left[\frac{B}{2}, \frac{B}{2}\right]$ .

Scrivendo l'involuppo complesso nella

forma:

$$(2.12) \quad \tilde{s}(t) = \rho(t)e^{j\vartheta(t)}$$

dove:

$$(2.13) \quad \rho(t) = \sqrt{s_f^2(t) + s_q^2(t)}$$

$$\vartheta(t) = \arctan \frac{s_q(t)}{s_f(t)}$$

si deduce dalla (2.8):

$$(2.14) \quad s(t) = \rho(t) \cos[2\pi f_0 t + \vartheta(t)]$$

Le grandezze  $\rho(t)$  e  $\vartheta(t)$  rappresentano l'**involuppo istantaneo** e la **deviazione istantanea di fase** di  $s(t)$ . Anche l'involuppo istantaneo  $\rho(t)$  e la deviazione istantanea di fase  $\vartheta(t)$ , sono quindi dei segnali di tipo passa-basso.

### 3 - Segnali aleatori di tipo passa-banda.

Un segnale aleatorio  $s(t, \zeta)$  a valori reali, supposto stazionario almeno in senso lato, è di tipo passa banda se la sua densità spettrale è trascurabile all'esterno delle regioni definite dalle  $|f| \in [f_1, f_2]$  con  $0 < f_1 < f_2$ . Come nel caso dei segnali determinati  $B = f_2 - f_1$  costituisce la banda (unilatera) di  $s(t, \zeta)$ .

La generica manifestazione di un segnale di tipo passa-banda può essere allora rappresentata, con probabilità molto prossima ad 1, come segue:

$$(3.1) \quad s(t, \zeta) = s_f(t, \zeta) \cos 2\pi f_0 t - s_q(t, \zeta) \sin 2\pi f_0 t = \text{Re} \left[ \tilde{s}(t, \zeta) e^{j2\pi f_0 t} \right]$$

dove le componenti in fase ed in quadratura, per la (2.10) e (2.9) possono essere espresse in termini della componente a frequenze positive di  $s(t, \zeta)$ :

$$(3.2) \quad s_f(t, \zeta) = \text{Re}[\tilde{s}(t, \zeta)] = 2 \text{Re} \left[ s_+(t, \zeta) e^{-j2\pi f_0 t} \right]$$

$$s_q(t, \zeta) = \text{Im}[\tilde{s}(t, \zeta)] = 2 \text{Im} \left[ s_+(t, \zeta) e^{-j2\pi f_0 t} \right]$$

Tenendo conto delle (1.3) si ha:

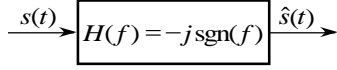
$$(3.3) \quad s_f(t, \zeta) = s(t, \zeta) \cos 2\pi f_0 t + \hat{s}(t, \zeta) \sin 2\pi f_0 t$$

$$s_q(t, \zeta) = -s(t, \zeta) \sin 2\pi f_0 t + \hat{s}(t, \zeta) \cos 2\pi f_0 t$$

Allo scopo di caratterizzare le componenti in fase ed in quadratura o l'involuppo complesso del segnale  $s(t, \zeta)$  basta osservare che se il valor medio del segnale  $s(t, \zeta)$  è nullo, è anche

nullo il valore medio della sua trasformata di Hilbert. Da ciò si deduce che i segnali  $s_f(t, \zeta)$  e  $s_q(t, \zeta)$  hanno valor medio nullo.

Per caratterizzare statisticamente al secondo ordine, in senso lato, le componenti in fase ed in quadratura è necessario dedurre la matrice di correlazione della coppia di segnali



**Fig. 4** – Generazione del segnale  $\hat{s}(t)$

$s(t, \zeta)$  e  $\hat{s}(t, \zeta)$ . A tal proposito ricordando che la trasformata di Hilbert  $\hat{s}(t)$  di un segnale può essere concepita come il segnale in uscita dal filtro  $H(f) = -j \operatorname{sgn}(f)$

quando al suo ingresso è applicato  $s(t)$  (v. Fig. 4), si deduce:

$$(3.4) \quad \begin{aligned} W_{\hat{s}}(f) &= |-j \operatorname{sgn}(f)|^2 W_s(f) = W_s(f) \\ W_{\hat{s}s}(f) &= -j \operatorname{sgn}(f) W_s(f) \\ W_{s\hat{s}}(f) &= [-j \operatorname{sgn}(f)]^* W_s(f) = j \operatorname{sgn}(f) W_s(f) = -W_{\hat{s}s}(f) \end{aligned}$$

da cui:

$$(3.5) \quad \begin{aligned} R_{\hat{s}}(\tau) &= R_s(\tau) \\ R_{\hat{s}s}(\tau) &= -R_{s\hat{s}}(\tau) = -\hat{R}_s(\tau) \end{aligned}$$

dove  $\hat{R}_s(\tau)$  è la trasformata di Hilbert di  $R_s(\tau)$ .

Ciò premesso, la funzione di correlazione associata alla componente a frequenza positiva di  $s(t, \zeta)$  è:

$$(3.6) \quad \begin{aligned} R_{s_+}(\tau) &= E \{ s_+^*(t, \zeta) s_+(t + \tau, \zeta) \} = \\ &= \frac{1}{4} E \{ [s(t, \zeta) - j\hat{s}(t, \zeta)][s(t + \tau, \zeta) + j\hat{s}(t + \tau, \zeta)] \} = \\ &= \frac{1}{4} (R_s(\tau) + R_{\hat{s}}(\tau)) + j(R_{s\hat{s}}(\tau) - R_{\hat{s}s}(\tau)) \end{aligned}$$

e la funzione di pseudo correlazione:

$$(3.7) \quad \begin{aligned} \bar{R}_{s_+}(\tau) &= E \{ s_+(t, \zeta) s_+(t + \tau, \zeta) \} = \\ &= \frac{1}{4} E \{ [s(t, \zeta) + j\hat{s}(t, \zeta)][s(t + \tau, \zeta) + j\hat{s}(t + \tau, \zeta)] \} = \\ &= \frac{1}{4} (R_s(\tau) - R_{\hat{s}}(\tau)) + j(R_{s\hat{s}}(\tau) + R_{\hat{s}s}(\tau)) \end{aligned}$$

Le precedenti, tenendo conto delle (3.5), diventano:

$$(3.8) \quad \begin{aligned} R_{s_+}(\tau) &= \frac{1}{2} [R_s(\tau) + j\hat{R}_s(\tau)] \\ \bar{R}_{s_+}(\tau) &= 0 \end{aligned}$$

Tenendo conto delle (3.2), le funzioni di correlazione delle componenti in fase ed in quadratura valgono:

$$(3.9) \quad \begin{aligned} R_f(\tau) &= E \{ s_f(t, \zeta) s_f(t + \tau, \zeta) \} = 4E \left\{ \operatorname{Re} \left[ s_+(t, \zeta) e^{-j2\pi f_0 t} \right] \operatorname{Re} \left[ s_+(t + \tau, \zeta) e^{-j2\pi f_0 (t + \tau)} \right] \right\} \\ R_q(\tau) &= E \{ s_q(t, \zeta) s_q(t + \tau, \zeta) \} = 4E \left\{ \operatorname{Im} \left[ s_+(t, \zeta) e^{-j2\pi f_0 t} \right] \operatorname{Im} \left[ s_+(t + \tau, \zeta) e^{-j2\pi f_0 (t + \tau)} \right] \right\} \\ R_{fq}(\tau) &= E \{ s_f(t, \zeta) s_q(t + \tau, \zeta) \} = 4E \left\{ \operatorname{Re} \left[ s_+(t, \zeta) e^{-j2\pi f_0 t} \right] \operatorname{Im} \left[ s_+(t + \tau, \zeta) e^{-j2\pi f_0 (t + \tau)} \right] \right\} \\ R_{qf}(\tau) &= E \{ s_q(t, \zeta) s_f(t + \tau, \zeta) \} = 4E \left\{ \operatorname{Im} \left[ s_+(t, \zeta) e^{-j2\pi f_0 t} \right] \operatorname{Re} \left[ s_+(t + \tau, \zeta) e^{-j2\pi f_0 (t + \tau)} \right] \right\} \end{aligned}$$

per calcolare le quali è utile far riferimento alle seguenti identità tra numeri complessi:

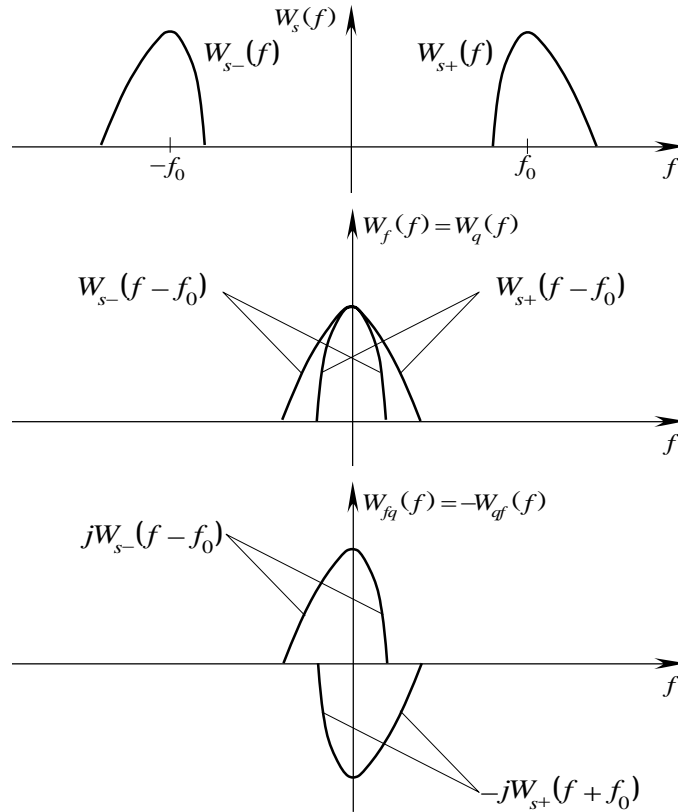
$$\begin{aligned}
 \operatorname{Re}[a]\operatorname{Re}[b] &= \frac{a+a^*}{2} \frac{b+b^*}{2} = \frac{a^*b+ab^*}{4} + \frac{ab+a^*b^*}{4} = \frac{1}{2}(\operatorname{Re}[a^*b] + \operatorname{Re}[ab]) \\
 \operatorname{Im}[a]\operatorname{Im}[b] &= \frac{a-a^*}{2j} \frac{b-b^*}{2j} = \frac{a^*b+ab^*}{4} - \frac{ab+a^*b^*}{4} = \frac{1}{2}(\operatorname{Re}[a^*b] - \operatorname{Re}[ab]) \\
 \operatorname{Re}[a]\operatorname{Im}[b] &= \frac{a+a^*}{2} \frac{b-b^*}{2j} = \frac{a^*b-ab^*}{4j} + \frac{ab-a^*b^*}{4j} = \frac{1}{2}(\operatorname{Im}[a^*b] + \operatorname{Im}[ab]) \\
 \operatorname{Im}[a]\operatorname{Re}[b] &= \frac{a-a^*}{2j} \frac{b+b^*}{2} = -\frac{a^*b-ab^*}{4j} + \frac{ab-a^*b^*}{4j} = \frac{1}{2}(-\operatorname{Im}[a^*b] + \operatorname{Im}[ab])
 \end{aligned}
 \tag{3.10}$$

Tenendo conto delle (3.8) e (3.10) le (3.9) divengono:

$$\begin{aligned}
 R_f(\tau) &= 2\operatorname{Re}\left[R_{s_+}(\tau)e^{-j2\pi f_0\tau}\right] \\
 R_q(\tau) &= 2\operatorname{Re}\left[R_{s_+}(\tau)e^{-j2\pi f_0\tau}\right] \\
 R_{fq}(\tau) &= 2\operatorname{Im}\left[R_{s_+}(\tau)e^{-j2\pi f_0\tau}\right] \\
 R_{qf}(\tau) &= -2\operatorname{Im}\left[R_{s_+}(\tau)e^{-j2\pi f_0\tau}\right]
 \end{aligned}
 \tag{3.11}$$

od anche:

$$\begin{aligned}
 R_f(\tau) = R_q(\tau) &= R_s(\tau) \cos 2\pi f_0\tau + \hat{R}_s(\tau) \sin 2\pi f_0\tau \\
 R_{fq}(\tau) = -R_{qf}(\tau) &= -R_s(\tau) \sin 2\pi f_0\tau + \hat{R}_s(\tau) \cos 2\pi f_0\tau
 \end{aligned}
 \tag{3.12}$$



**Fig. 5** - Densità spettrali delle componenti in fase ed in quadratura di un segnale aleatorio.

È opportuno osservare che dalla prima delle precedenti si deduce:

$$R_f(0) = R_q(0) = R_s(0)
 \tag{3.13}$$

e cioè che il valore quadratico della componente in fase è uguale a quello della componente

in quadratura di un segnale e tale valore quadratico medio coincide con quello di  $s(t, \zeta)$ .

Prendendo le trasformate di Fourier di entrambi i lati della prima delle (3.12) si ha:

$$(3.14) \quad W_f(f) = W_q(f) = \frac{1}{2} [W_s(f - f_0) + W_s(f + f_0)] + \frac{1}{2j} [\hat{W}_s(f - f_0) - \hat{W}_s(f + f_0)]$$

dove è  $\hat{W}_s(f) = -j \operatorname{sgn}(f) W_s(f)$ . È dunque:

$$(3.15) \quad W_f(f) = W_q(f) = \frac{1}{2} W_s(f - f_0) [1 - \operatorname{sgn}(f - f_0)] + \frac{1}{2} W_s(f + f_0) [1 + \operatorname{sgn}(f + f_0)]$$

che, essendo  $u(-f) = \frac{1}{2} [1 - \operatorname{sgn}(f)]$  e  $u(f) = \frac{1}{2} [1 + \operatorname{sgn}(f)]$ , diventano:

$$(3.16) \quad W_f(f) = W_q(f) = W_s(f - f_0) u(-f + f_0) + W_s(f + f_0) u(f + f_0)$$

od anche:

$$(3.17) \quad W_f(f) = W_q(f) = W_{s+}(f + f_0) + W_{s-}(f - f_0)$$

dove  $W_{s+}(f)$  e  $W_{s-}(f)$  sono le componenti a frequenze negative e positive della densità spettrale del segnale  $s(t, \zeta)$  (v. Fig. 5).

In modo analogo, trasformando secondo Fourier la seconda delle (3.12), si ha:

$$(3.18) \quad \begin{aligned} W_{fq}(f) = -W_{qf}(f) &= -\frac{1}{2j} [W_s(f - f_0) - W_s(f + f_0)] + \frac{1}{2} [\hat{W}_s(f - f_0) + \hat{W}_s(f + f_0)] = \\ &= \frac{j}{2} [W_s(f - f_0) - W_s(f + f_0)] - \frac{j}{2} [\operatorname{sgn}(f - f_0) W_s(f - f_0) - \operatorname{sgn}(f + f_0) W_s(f + f_0)] = \\ &= \frac{j}{2} W_s(f - f_0) [1 - \operatorname{sgn}(f - f_0)] - \frac{j}{2} W_s(f + f_0) [1 + \operatorname{sgn}(f + f_0)] = \\ &= j [W_s(f - f_0) u(-f + f_0) - W_s(f + f_0) u(f + f_0)] \end{aligned}$$

e cioè (v. Fig. I.5)

$$(3.19) \quad W_{fq}(f) = -W_{qf}(f) = j [W_{s-}(f - f_0) - W_{s+}(f + f_0)]$$

È da tener presente che se la componente a frequenza positiva (o negativa) della densità spettrale gode della simmetria hermitiana rispetto alla frequenza di riferimento  $f_0$  e cioè se vale la condizione  $W_{s+}(f - f_0) = W_{s+}(f_0 - f) = W_{s-}(f_0 + f)$  la densità spettrale incrociata, e, di conseguenza, la corrispondente correlazione incrociata è nulla. Le componenti in fase ed in quadratura sono in tal caso incorrelate.

#### 4- Rumore gaussiano bianco di tipo passa-banda.

Le considerazioni svolte nel precedente paragrafo possono essere applicate al caso di rumore gaussiano, stazionario e bianco di tipo passa-banda. È ovvio che poiché, come si evince dalla (1.4), la trasformata di Hilbert è una trasformazione lineare del segnale  $n(t, \zeta)$ , anche  $\hat{n}(t, \zeta)$  è gaussiano. Per lo stesso motivo le componenti in fase ed in quadratura sono segnali gaussiani. Di conseguenza, se il rumore si suppone a valor medio nullo, le loro caratteristiche statistiche sono individuate solo dalle funzioni di correlazioni o dalle loro densità spettrali date dalle (3.17) e (3.19).

Facendo riferimento alla Fig. 6 e alle (3.17) e (3.19) risulta pertanto:

$$(4.1) \quad W_f(f) = W_q(f) = N_0 \operatorname{rect}\left(\frac{f}{B}\right)$$

e

$$(4.2) \quad W_{fq}(f) = W_{qf}(f) = 0$$

essendo  $\frac{N_0}{2}$  rappresenta la densità spettrale del rumore.

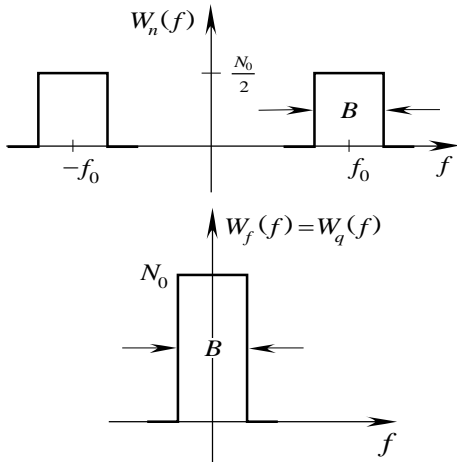
Antitrasformando le (4.1) e (4.2) si ottiene infine:

$$(4.3) \quad \begin{aligned} R_f(\tau) &= R_q(\tau) = N_0 B \operatorname{sinc}(B\tau) \\ R_{fq}(\tau) &= R_{qf}(\tau) = 0 \end{aligned}$$

Le componenti in fase ed in quadratura sono pertanto due segnali gaussiani incorrelati (e quindi statisticamente indipendenti) e sono caratterizzati dalla stessa statistica.

Tenendo conto delle (4.3) le funzioni di autocorrelazione dell'involuppo complesso valgono:

$$(4.4) \quad \begin{aligned} R_s(\tau) &= E \left\{ \tilde{s}^*(t, \zeta) \tilde{s}(t + \tau, \zeta) \right\} = \left[ R_f(\tau) + R_q(\tau) \right] = 2N_0 B \operatorname{sinc}(B\tau) \\ \bar{R}_s(\tau) &= E \left\{ \tilde{s}(t, \zeta) \tilde{s}(t, \zeta) \right\} = 0 \end{aligned}$$



**Fig. 6** – Caratteristiche spettrale di un rumore bianco di tipo passa-banda.

dalle:

$$(4.6) \quad \begin{aligned} R_f(\tau) &= R_q(\tau) = N_0 \delta(\tau) \\ R_{fq}(\tau) &= R_{qf}(\tau) = 0 \end{aligned}$$

Le funzioni di correlazione sono:

$$(4.7) \quad \begin{aligned} R_s(\tau) &= 2N_0 \delta(\tau) \\ \bar{R}_s(\tau) &= 0 \end{aligned}$$

e le corrispondenti densità spettrali:

$$(4.8) \quad \begin{aligned} W_s(f) &= 2N_0 \\ \bar{W}_s(f) &= 0 \end{aligned}$$

Il segnale  $s(t)$  è pertanto un segnale gaussiano a valori complessi e proprio.

## 5 – Sistemi lineari e tempo invarianti di tipo passa-banda.

Un sistema lineare e tempo invariante è di tipo passa-banda se la sua risposta in frequenza è concentrata attorno alle frequenze  $\pm f_0$ . Questo comporta che la sua risposta impulsiva  $h(t)$  può essere espressa nella forma <sup>(1)</sup>:

$$(5.1) \quad h(t) = 2 \operatorname{Re} \left[ \tilde{h}(t) e^{j2\pi f_0 t} \right] = \tilde{h}(t) e^{j2\pi f_0 t} + \tilde{h}^*(t) e^{-j2\pi f_0 t}$$

e la risposta in frequenza vale:

$$(5.2) \quad H(f) = \tilde{H}(f - f_0) + \tilde{H}^*(-f - f_0)$$

<sup>(1)</sup> Da notare il fattore 2 che si è introdotto nella (5.1)

dove  $\tilde{H}(f)$  rappresenta la trasformata di Fourier di  $\tilde{h}(t)$ .

Se un segnale passa-banda  $s_e(t)$  è applicato all'entrata del filtro passa-banda  $h(t)$ , il segnale in uscita  $s_u(t) = \text{Re}[\tilde{s}_u(t)e^{j2\pi f_0 t}]$  è dato dalla:

$$(5.3) \quad s_u(t) = s_e(t) * h(t)$$

che, nel dominio della frequenza, diviene:

$$(5.4) \quad S_u(f) = S_e(f)H(f)$$

Si ha dunque:

$$(5.5) \quad \begin{aligned} S_u(f) &= \frac{1}{2}[\tilde{S}_u(f - f_0) + \tilde{S}_u^*(-f - f_0)] = \\ &= \frac{1}{2}[\tilde{S}_e(f - f_0) + \tilde{S}_e^*(-f - f_0)][\tilde{H}(f - f_0) + \tilde{H}^*(-f - f_0)] = \\ &= \frac{1}{2}[\tilde{S}_e(f - f_0)\tilde{H}(f - f_0)] + \frac{1}{2}[\tilde{S}_e^*(-f - f_0)\tilde{H}^*(-f - f_0)] + \\ &\quad + \frac{1}{2}[\tilde{S}_e(f - f_0)\tilde{H}^*(-f - f_0)] + \frac{1}{2}[\tilde{S}_e^*(-f - f_0)\tilde{H}(f - f_0)] \end{aligned}$$

Se il segnale in entrata e la risposta impulsiva del filtro sono del tipo a banda stretta, e cioè se l'ampiezza di banda è minore della frequenza di riferimento  $f_0$ , è lecito porre:

$$(5.6) \quad \begin{aligned} \tilde{S}_e(f - f_0)\tilde{H}(-f - f_0) &= \tilde{S}_e(f - f_0)\tilde{H}[-(f + f_0)] \cong 0 \\ \tilde{S}_e(-f - f_0)\tilde{H}(f - f_0) &= \tilde{S}_e[-(f + f_0)]\tilde{H}(f - f_0) \cong 0 \end{aligned}$$

per cui la (5.5) si riduce alla:

$$(5.7) \quad \begin{aligned} S_u(f) &= \frac{1}{2}[\tilde{S}_e(f - f_0)\tilde{H}(f - f_0)] + \frac{1}{2}[\tilde{S}_e^*(-f - f_0)\tilde{H}^*(-f - f_0)] = \\ &= \frac{1}{2}[\tilde{S}_u(f - f_0) + \tilde{S}_u^*(-f - f_0)] \end{aligned}$$

avendo posto

$$(5.8) \quad \tilde{S}_u(f) = \tilde{S}_e(f)\tilde{H}(f)$$

Il segnale  $\tilde{S}_u(f)$  rappresenta l'involuppo complesso del segnale in uscita dal filtro. Nel dominio del tempo, la precedente corrisponde alla:

$$(5.9) \quad \tilde{s}_u(t) = \tilde{s}_e(t) * \tilde{h}(t)$$